

دانشجوی دکتری، دانشکده فنی و مهندسی، دانشگاه شهرکرد، شهرکرد، ایران

استادیار، دانشکده فنی و مهندسی، دانشگاه شهرکرد، شهرکرد، ایران

استادیار، گروه مهندسی مکانیک، دانشگاه اصفهان، اصفهان، ایران

سید محمد رضا فریطوس

هادی همایی*

شهرام هادیان جزی

چکیده

این مقاله روش کنترل بهینه حلقه باز را برای طراحی مسیر بهینه بازوهای مکانیکی با رابط نهایی انعطاف پذیر و پایه ثابت در مساله تعقیب مسیر توسعه خواهد داد. در این روش بدون در نظر گرفتن انعطاف پذیری، فضای جواب مفاصل برای حرکت صلب بازوی مکانیکی بدست می‌آید. با انتخاب مناسب بردار حالت، تابع هدف و قیدهای سیستم به فرم کلاسیک مساله بهینه سازی تبدیل می‌گردد. با استفاده از اصل کمینگ پوتربیاگین، معادلات به مساله مقدار مرزی دو نقطه ای تبدیل می‌شود. جهت تصدیق روش ارائه شده، شبیه سازی برای بازوی مکانیکی انعطاف پذیر با سه رابط انجام شده است. نتایج به دست آمده و بررسی‌های صورت گرفته، کارآمدی روش ارایه شده را نشان می‌دهند.

واژه‌های کلیدی: بازوی مکانیکی افزونه، رابط انعطاف پذیر، تعقیب مسیر، کنترل بهینه.

Optimal Control in Path Planning of Redundant Manipulators with the Last Flexible Arm based on Rigid Motion in Trajectory Tracking

S. M. R. Faritus

Faculty of engineering, University of Shahrekord, Shahrekord, Iran

H. Homaei

Faculty of engineering, University of Shahrekord, Shahrekord, Shahrekord, Iran

Sh. Hadian Jazi

Department of Mechanical Engineering, University of Isfahan, Isfahan, Iran

Abstract

This paper develops open-loop optimal control approach for path planning of redundant manipulators with the last flexible arm and fixed base in trajectory tracking. In this method, regardless of flexibility, the space of joints answer is obtained for the rigid motion of manipulator. By proper selection of state vector, the cost function and system constraints are turned to classic form of optimization problem. By using Pontryagin's minimum principle, the obtained equations are changed into two point boundary value problem. To verify the proposed method, simulation for three-link flexible manipulator is conducted. The results and surveys show the effectiveness of the proposed methods.

Keywords: Redundant Manipulator, Flexible Arm, Trajectory Tracking, Optimal Control.

ارتعاش پسماند خواهیم داشت [۷]. در بازوی مکانیکی انعطاف پذیر، کاهش ارتعاش بدون از دست دادن سرعت و دقت پاسخ و افزایش ظرفیت حمل بار دینامیکی، به عنوان یک مساله چالشی مهم در سطح بین المللی شناخته می‌شود [۸]. تعدادی از محققین از روش‌های غیر مستقیم در طراحی و بهینه کردن مسیر استفاده کردند. ویلسون و همکاران، کنترل بهینه حلقة باز زمانی را برای فرمولبندی طراحی مسیر بازوهای مکانیکی انعطاف پذیر بکار گرفتند و آنرا با استفاده از برنامه ریزی دینامیکی حل نمودند [۹]. کنترل بهینه می‌تواند بصورت حلقة باز و یا حلقة بسته بکار گرفته شود. افزایش توانایی سیستم برای باز تولید ورودی به صورت مناسب، کاهش حساسیت خروجی نسبت به ورودی، کاهش اثرات عوامل غیر خطی و اختلالات، از مهمترین ویژگی‌های وجود یک حلقة پسخورد در سیستم کنترلی هستند. در سیستم‌های مدار باز دقت سیستم به کالیبره کردن آن بستگی دارد. عمل کنترل حلقة باز، در شرایطی که رابطه بین ورودی و خروجی سیستم مشخص بوده و سیگنال‌های اخلاق اگر نیز وجود نداشته باشند، می‌تواند مورد استفاده قرار گیرد. این روش

۱- مقدمه

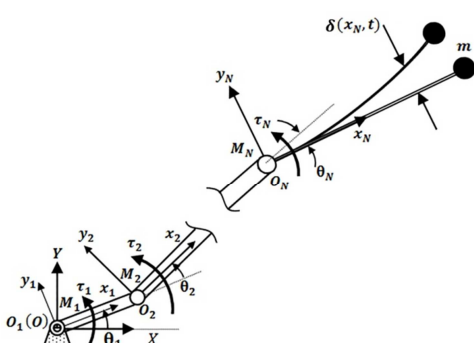
می‌توان جهت کاهش ارتعاش و افزایش دقت در بازوهای مکانیکی از مواد سخت و قطعات حجمی استفاده کرد. پیامد آن علاوه بر بالا رفتن مصرف انرژی و هزینه‌های ساخت، افزایش اینرسی و کاهش سرعت در هنگام عکس العمل سریع خواهد بود. استفاده از رابط‌های سبکتر ضمن کاهش مصرف انرژی، سرعت و اینرسی عملیات را بالا می‌برد. از دیگر مزایای آن می‌توان به استفاده از عملگرهای کوچکتر، مانور بهتر و حمل و نقل آسانتر اشاره نمود. همچنین از نقطه نظر تجاری، بازوی‌های مکانیکی انعطاف پذیر می‌توانند به سرعت با نوسانات طراحی محصول سازگار شوند [۱]. از کاربردهای مهم بازوهای مکانیکی ماهر انعطاف پذیر می‌توان به استفاده آنها در پژوهشی مثل پروتون تراپی، عملیات پلیسه گیری، صیقل کاری، سنگزنه، رنگزنه و شناخت الگو اشاره کرد [۶-۲]. با باریک و سبک شدن رابط‌ها، مساله انعطاف پذیری این اعضاء مطرح می‌گردد. در این شرایط به علت ارتعاش اعضای انعطاف پذیر، کنترل نقطه انتهایی مشکل خواهد بود. این ارتعاش وقتی پنجه به نقطه هدف می‌رسد باقیمانده و در سیستم

کاهش حرکت الاستیک پایه ریزی خواهد شد. نظر به رفتار بازوهای مکانیکی انعطاف پذیر که ترکیبی از حرکت صلب و حرکت ارتعاشی است [۲۴]، در اولویت اول بدنیال تعقیب مسیر پنجه بازوی مکانیکی صلب بوده و در میان پاسخ ها و فضای جوابی که برای حرکت صلب بازوی مکانیکی بعلت افزونگی درجات آزادی در مساله تعقیب مسیر وجود دارد، بدنیال پاسخی هستیم که ارتعاشات سیستم را حداقل نماید. جهت جلوگیری از اشیاع عملگرهای با انتخاب مناسب شاخص بهینه سازی به حداقل کردن مصرف انرژی در عملگرهای سیگنال های کنترل می پردازیم. با توجه به اینکه بهینه سازی فرآگیر علیغم محاسبات پیچیده، روشنی دقیق و کارآمد است، در این تحقیق از بهینه سازی فرآگیر استفاده شده است. در بهینه سازی فرآگیر، مسیر بهینه بازوهای مکانیکی با کمینه کردن یکتابع هدف در کل مسیر و با در نظر گرفتن قیدهای سیستم، بدست می آید. قیدهای سیستم در این شرایط شامل معادلات دینامیکی و سینماتیکی و قیدهای نامساوی هستند. با انتخاب مناسب بردار حالت و سیگنال کنترل، ابتدا گشتاور و شتاب های مختصات تعیین یافته بر حسب این دو بردار تعیین می شوند. سپس تابع هدف و قیدهای سیستم به شکل یک مساله کنترل بهینه حلقه باز استاندارد در می آیند. برای حل معادلات از روشنی مبتنی بر اصل کمینگی پونتریاگین استفاده شده است. این روش جزو روشهای غیر مستقیم محسوب می شود و علت انتخاب آن، دستیابی به جواب های دقیق و قابل اطمینان در بازوی مکانیکی انعطاف پذیر افزونه است که سیستمی با درجات آزادی و غیر خطی های زیاد می باشد.

در بخش ۲ با استفاده از انرژی سیستم و با کمک معادلات لاغرانژ و روش مود فرضی، معادلات حرکت دینامیکی بازوی مکانیکی استخراج می گردد. در بخش ۳ فرمولبندی مساله بهینه سازی انجام گرفته و در نهایت معادلات به شکل استاندارد آن در آمده است. در بخش ۴ روش حل بر اساس اصل کمینگی پونتریاگین ارایه شده و شرایط مرزی مساله بهینه سازی مورد بحث و بررسی قرار گرفته است. بخش ۵ شبیه سازی برای بازوی مکانیکی با سه رابط انجام گردیده و بخش ۶ به نتیجه گیری اختصاص داده شده است.

۲- معادلات حاکم

شکل ۱ بازوی مکانیکی شامل N رابط که رابط انتهایی آن انعطاف پذیر است و همراه با را نشان می دهد.



شکل ۱- بازوی مکانیکی انعطاف پذیر با بازوی انتهایی انعطاف پذیر

کنترلی بعلت داشتن طبیعت خارج از خطی^۱ قابلیت حل مواردی مثل غیر خطی ها و قیدهای زیاد در سیستم را دارد. لذا معمولاً در تحلیل سیستم های غیر خطی مثل بهینه سازی مسیر در انواع بازوهای مکانیکی استفاده می شود [۱۱, ۱۲]. در مراجع [۱۳, ۱۴] از روش کنترل حلقه باز در بهینه سازی مسیر بازوهای مکانیکی در حرکت نقطه به نقطه استفاده شده است. اصل کمینگی پونتریاگین به عنوان یکی از روش های کنترل بهینه حلقه باز، برای تولید مسیر در بازوهای مکانیکی انعطاف پذیر با پایه متحرک در کارهای [۱۵-۱۶] بکار گرفته شدند. شوکلا و همکاران حساب تغییرات را بطور مستقیم در طراحی مسیر بهینه در بازوهای مکانیکی افزونه سری در فضاهای کاری محدود و دارای مانع به کار گرفتند [۱۷]. آنها با اصلاح شرایط مرزی در ابتدا و انتهای مسیر، موفق به یافتن نقطه شروع و چهارچوب مناسب تر شدند. لو و همکاران، روشنی مبتنی بر ترکیب برنامه ریزی مسیر حلقه باز و کنترل پسخوردن را توسعه دادند. در روش آنها، زاویه مفاصل بصورت توابع چند جمله ای و انرژی ارتعاشی رابط انعطاف پذیر به عنوان تابع هدف تعریف می گردید [۱۸]. آنها از الگوریتم ژنتیک برای حل مساله بهینه سازی و تعیین مسیر بهینه استفاده کردند. روش برنامه ریزی دینامیکی بهینه سازی در طراحی مسیر بهینه بازوهای مکانیکی، به کار گرفته شده است. استیلمن و همکاران، روش برنامه ریزی دینامیکی را با کمک یک الگوریتم برنامه ریزی مسیر بهینه زمانی پیشنهاد کردند [۱۹]. مسیر بصورت یک مفصلی با یک پارامتر در نظر گرفته شده بود. با داخل کردن این پارامتر به معادلات دینامیکی، قیدهای تعریف شده روی گشتاورهای ورودی به مشتق دوم این پارامتر تبدیل می شدند. با کمک همکاران از روشی بر اساس فرایند تصمیم گیری مارکوف و برنامه ریزی دینامیکی در طراحی مسیر استفاده کردند [۲۰]. کورایم و همکاران مسیر بهینه را برای بازوهای مکانیکی صلب در حرکت نقطه به نقطه و تعقیب مسیر با استفاده از روش برنامه ریزی دینامیکی انجام دادند [۲۱]. آنها با استفاده از روشی مبتنی بر SQP^۲ موفق به افزایش سرعت همگرایی شدند. در سال های اخیر الگوریتم های تکاملی در طراحی مسیر بازوهای مکانیکی توسعه یافته است. آبه و کومورو، شبکه عصبی با الگوریتم یادگیری لانه زنور^۳ را برای حداقل کردن ارتعاش پسماند و مصرف انرژی و تابع الحجه و قنبرزاده، الگوریتم رقابت امپریالیستی^۴ را برای حداقل کردن خطاب بکار گرفتند [۲۲, ۲۳].

این مقاله روش کنترل بهینه حلقه باز را برای طراحی مسیر بهینه بازوهای مکانیکی با پایه ثابت و رابط انعطاف پذیر انتهایی، در مساله تعقیب مسیر بکار خواهد گرفت. در کارهای انجام شده در این حوزه، بهینه کردن خطای تعقیب مسیر همراه با ارتعاش اجزای انعطاف پذیر در نظر گرفته می شود، لذا ارتعاش سیستم به عنوان کمیتی مستقل می شود. در این شرایط، با وجود اینکه مقدار ارتعاش در معادلات بهینه سازی منظور می شود، تعقیب مسیر با لرزش همراه است. در این تحقیق ضمن توسعه روش کنترل بهینه حلقه باز در بازوی مکانیکی انعطاف پذیر با پایه ثابت، معادلات بر اساس حرکت صلب و

¹off-line

²Sequential Quadratic Programming

³Particle Swarm Optimization

⁴Imperialist Competitive Algorithm

مشتقهای زمانی آنها و جایگذاری در روابط (۴) و (۵)، معادلات حرکت استخراج می‌شود.

با مرتب کردن معادلات به شکل ماتریسی، $n = (N + M)$

$$\begin{bmatrix} C_{\theta\theta}(\theta, \phi) & C_{\theta\phi}(\theta, \phi) \\ C_{\phi\theta}^T(\theta, \phi) & C_{\phi\phi}(\theta, \phi) \end{bmatrix} \begin{bmatrix} \dot{\theta} \\ \dot{\phi} \end{bmatrix} + E(\theta, \phi, \dot{\theta}, \dot{\phi}) = \begin{bmatrix} \tau \\ 0 \end{bmatrix} \quad (6)$$

$$E = D(\theta, \phi) \begin{bmatrix} \dot{\theta} \\ \dot{\phi} \end{bmatrix} + K(\theta, \phi) \begin{bmatrix} \theta \\ \phi \end{bmatrix} + F(\theta, \phi, \dot{\theta}, \dot{\phi}) \quad (7)$$

ماتریس اینرسی $C \in \mathbb{R}^{n \times n}$ متنقارن است و شامل ماتریس های $C_{\theta\theta} \in \mathbb{R}^{N \times N}$ و $C_{\theta\phi} \in \mathbb{R}^{N \times M}$ همچنین $D \in \mathbb{R}^{n \times n}$ ماتریس میرایی، $K \in \mathbb{R}^{n \times n}$ ماتریس سختی و $F \in \mathbb{R}^n$ بردار مجموع نیروهای غیر خطی مثل کریولیس، جاذبه و گریز از مرکز است. $\dot{\theta}, \dot{\phi}, \theta, \phi \in \mathbb{R}^N$ بردار گشتاور موتورها می‌باشد. علامت T شتاب مفاصل و $\tau \in \mathbb{R}^N$ بردار گشتاور موتورها می‌باشد. علامت τ بعنوان اندیس بالا، نشانه ماتریس ترانهاده است.

۳- فرمول بندی بهینه سازی در مساله تعقیب مسیر

حرکت بازوی مکانیکی به دو صورت نقطه به نقطه یا حرکت بر روی مسیری که از قبل مشخص شده است انجام می‌گردد. در این تحقیق حالت دوم یعنی حرکت بر روی مسیری مشخص مورد نظر می‌باشد. لذا یکی از قیدهای سیستم، قید سینماتیکی یا حرکت پنجه بازوی مکانیکی بر روی چنین مسیری است. در بازوی مکانیکی انعطاف پذیر، مسیر پنجه تابعی از زاویه مفاصل و انعطاف پذیری است. مابقی قیدها، معادلات دینامیکی حاکم بر سیستم یعنی مجموعه معادلات رابطه (۶) می‌باشند. بعلت وجود درجه آزادی اضافی در بازوی مکانیکی انعطاف پذیر افزونه، می‌توان ضمن حرکت بر روی مسیر مشخص شده، شاخص مناسبی نیز تعریف و در طول حرکت کمینه کرد.

دو روش بهینه سازی محلی و سراسری وجود دارد که در این مقاله روش دوم بکار رفته است. بهینه سازی سراسری یا فراگیر، تابع هزینه را در کل مسیر حرکت کمینه می‌کند و بصورت یک ساختار انتگرالی در طول مسیر تعریف می‌شود. روشنی که در این بخش برای فرمولبندی مسیر بهینه مورد استفاده قرار می‌گیرد بر اساس روش کنترل بهینه حلقه باز است. استفاده از بهینه سازی فراگیر به صورت خارج از خط و حلقه باز علی‌رغم پیچیدگی‌های محاسباتی در سیستم‌های با درجات آزادی بالا، غیر خطی‌های زیاد و متغیر و قیدهای مختلف، روشنی کارآمد و قدرمند است [۲۷]. لذا کنترل بهینه می‌تواند کاندید مناسبی در کنترل بازوی مکانیکی انعطاف پذیر باشد. با این روش می‌توان اهداف مختلفی را هدف قرار داده و برآورده نمود.

در این بخش ابتدا تابع هدف را بصورت سرتاسری با تعریف یک شاخص انتگرالی که انتگرال‌ده آن تابعی از متغیرهای حالت سیستم است، تعریف می‌کنیم. قیدهای نامساوی سیستم که از اشباع عملگرهای سرعت مفاصل و یا عبور از مقدار مجاز خط‌ناشی می‌شود، در تابع هدف لحاظ می‌شود. سپس با کمک معادلات سینماتیکی حرکت و دینامیک حاکم بر سیستم، مشتق بردار متغیرهای حالت سیستم و انتگرال‌ده بر حسب بردار حالت و یک متغیر جدید که در اصطلاح به متغیر کنترلی معروف است، بدست می‌آید. این حالت که حالت استاندارد کنترل بهینه است، با کمک اصل پونتیاگین به دستگاه

θ_i, τ_i, M_i بازوی i ام می‌باشد. XOY چهارچوب مختصات اینرسی و $x_i, 0_i, y_i$ چهارچوب مختصاتی متحرک است که مرکز آن هاب بازوی i است. تیر انعطاف پذیر بصورت تیر اولر-برنولی در نظر گرفته می‌شود، به این معنی که از تاثیر تغییر شکل برشی و اینرسی چرخشی صرف نظر می‌گردد. بعلت وجود انعطاف پذیری، ابعاد سیستم نا محدود بوده لذا روش مود فرضی روشی مناسب جهت گستته گشتاورهای خواهد بود [۲۵]. در این تحقیق از روش مود فرضی جهت تخمین تغییر شکل استیک تیر استفاده شده است. در این روش، تغییر شکل خمی بازوی انعطاف پذیر بصورت ترکیب خطی حاصل ضرب توابع مودی و توابع زمانی در نظر گرفته می‌شود.

$$\delta(x_N, t) = \sum_{j=1}^M \psi_j(x_N) \phi_j(t) \quad (1)$$

$\delta(x_N, t)$ تغییر شکل خمی تیر انعطاف پذیر در فاصله x_N از مفصل N در دستگاه مختصاتی Ψ -زمانی و M تعداد مودهای توابع مودی، ϕ_j توابع تعمیم یافته و ψ_j تابعی از مرجع [۲۶] طریقه محاسبه توابع مودی و فرکانس‌های طبیعی تیر انعطاف پذیر ارایه گردیده است. معادلات دینامیکی با محاسبه انرژی جنبشی و پتانسیل سیستم و استفاده از روش لاگرانژ انجام خواهد شد. انرژی جنبشی بازوی مکانیکی، برابر با مجموع انرژی جنبشی رابطه‌ها، موتورها و بار است. لذا داریم:

$$T = \frac{1}{2} \sum_{i=1}^N \int_0^{L_i} \rho_i A_i \dot{R}_i^T \dot{R}_i dx_i + \frac{1}{2} m \dot{R}_m^T \dot{R}_m + \frac{1}{2} \sum_{i=1}^N (m_{M,i} \dot{R}_{M,i}^T \dot{R}_{M,i} + I_{M,i} \omega_{M,i}^2) \quad (2)$$

$R_{M,i}$ و $\omega_{M,i}$ به ترتیب بردارهای مکان و سرعت زاویه‌ای مرکز موتورهای مفصل رابط i ام و $m_{M,i}$ جرم و ممان اینرسی آنها می‌باشد. همچنین R_m بردار مکان بار و R_i بردار مکان نقطه‌ای عمومی روی رابط i ام می‌باشد. انرژی پتانسیل بازوی مکانیکی از سطح مقطع رابط i ام می‌باشد. انرژی پتانسیل گرانشی و انرژی حاصل از تغییر شکل استیک در رابط انعطاف پذیر حاصل می‌گردد. این انرژی بصورت رابطه (۳) بدست می‌آید:

$$P = \frac{1}{2} E_N I_N \int_0^{L_N} \left[\frac{\partial^2 \delta(s, t)}{\partial s^2} \right]^2 ds + \sum_{i=1}^N \int_0^{L_i} \rho_i A_i y_i g dx_i \quad (3)$$

که در آن E_N ضریب سختی رابط انعطاف پذیر است. با جایگذاری رابطه (۱) در (۳) مقدار انرژی پتانسیل محاسبه می‌گردد. کار مجازی گشتاور τ_i برابر است با $\tau_i = \delta W_i = \delta \theta_i$ می‌توان معادلات حرکت را با استفاده از روش لاگرانژ بصورت ذیل بدست آورد:

$$\frac{d}{dt} \left(\frac{\partial L}{\partial \dot{\theta}_i} \right) - \frac{\partial L}{\partial \theta_i} = \tau_i \quad ; i = 1, 2, \dots, N \quad (4)$$

$$\frac{d}{dt} \left(\frac{\partial L}{\partial \dot{\phi}_j} \right) - \frac{\partial L}{\partial \phi_j} = 0 \quad ; j = 1, 2, \dots, M \quad (5)$$

که $L = T - P$ لاغرانژی و θ_i و ϕ_j مختصات تعمیم یافته، می‌باشند. با محاسبه مشتق لاغرانژی نسبت به مختصات تعمیم یافته و

ابعاد بردار ستونی معادله (۱۶) برابر با $2n$ است. از طرفی با مشتق گیری از رابطه (۱۱) داریم:

$$\zeta(\theta)\dot{\theta} = \dot{\sigma}_d(t) \quad (17)$$

$$\dot{\sigma}_d(t) = \begin{bmatrix} \dot{x}_d(t) \\ \dot{y}_d(t) \end{bmatrix} \quad (18)$$

اگر Z ابعاد فضای کاری پنجه باشد، ماتریس جاکوبی

بصورت ذیل بدست می‌آید:

$$\zeta_{ij} = \frac{\partial \sigma_i}{\partial \theta_j} \quad (19)$$

افزونگی درجات آزادی بازوی مکانیکی $Z - N$ می‌باشد. فضای پوج ζ پیکربندی های مختلفی از بازوی مکانیکی را شامل می‌شود که به یک وضعیت مشخص از پنجه منجر می‌گردد. با استفاده از این خاصیت می‌توان از بین حالت های مختلف، حالتی را که یک مشخصه از سیستم را بهینه می‌کند، انتخاب کرد.

با مشتق گیری از رابطه (۱۷) داریم:

$$\zeta(\theta)\ddot{\theta} = \ddot{\sigma}_d(t) - \dot{\zeta}(\theta)\dot{\theta} \quad (20)$$

بردار سیگنال کنترل u و بردار کمکی V را بصورت زیر تعریف می‌کنیم:

$$u = [\dot{\theta}_1 \quad \dot{\theta}_2 \quad \dots \quad \dot{\theta}_r]^T \quad (21)$$

$$V = [\dot{\theta}_{r+1} \quad \dot{\theta}_{r+2} \quad \dots \quad \dot{\theta}_N]^T \quad (22)$$

معادله (۲۰) را با روابط (۲۱) و (۲۲) بازنویسی می‌کنیم.

$$[\zeta_1 \quad \zeta_2] \begin{bmatrix} u \\ V \end{bmatrix} = \ddot{\sigma}_d(t) - \dot{\zeta}(\theta)\dot{\theta} \quad (23)$$

بنابراین بردار شتاب زاویه‌ای مفاصل بازوی مکانیکی $\ddot{\theta}$ را بصورت زیر می‌توان نوشت:

$$\ddot{\theta} = \begin{bmatrix} u \\ \zeta_2^{-1}\{\ddot{\sigma}_d(t) - \dot{\zeta}(\theta)\dot{\theta} - \zeta_1 u\} \end{bmatrix} \quad (24)$$

با جایگذاری رابطه (۲۴) در (۱۰)، $\ddot{\phi}$ را بصورت ذیل بدست می‌آوریم:

$$\ddot{\phi} = -C_{\phi\phi}^{-1}(C_{\theta\phi}^T G_1(X, u, t) + E_\phi) \quad (25)$$

$= G_2(X, u, t)$

مقدار τ با استفاده از معادله (۹)، (۲۴) و (۲۵) بصورت تابعی از u و X به دست می‌آید:

$$\tau = C_{\theta\theta}G_1(X, u, t) + C_{\theta\phi}G_2(X, u, t) + E_\theta = G_3(X, u) \quad (26)$$

روابط (۲۴) تا (۲۶) بردارهای G_1 , G_2 و G_3 که تابعی از u و X هستند را جانشین بردارهای $\ddot{\theta}$, $\ddot{\phi}$ و τ می‌کنند. با جایگذاری رابطه (۲۶) در (۸) خواهیم داشت:

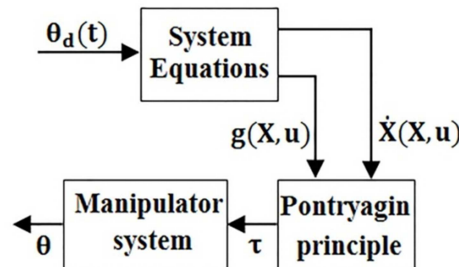
$$J = \int_{t_0}^{t_b} g(X, G_3(X, u)) dt \quad (27)$$

مقدار \dot{X} از روابط (۱۶)، (۲۴) و (۲۵) بدست می‌آید:

$$\dot{X} = \begin{bmatrix} \dot{\theta} \\ \dot{\phi} \\ \ddot{\theta} \\ \ddot{\phi} \end{bmatrix} = \begin{bmatrix} \dot{\theta} \\ \dot{\phi} \\ G_1(X, u, t) \\ G_2(X, u, t) \end{bmatrix} = f(X, u) \quad (28)$$

معادلات (۲۷) و (۲۸) فرم استاندارد معادلات بهینه سازی می‌باشند. در بخش بعد به حل معادلات و شرایط مرزی مساله می‌پردازیم.

معادلات مرتبه اول تبدیل می‌شود که با حل آن گشتاورهای فرمان بدست می‌آید. با اعمال آنها به مفاصل ربات، مسیر حرکت که تابع متغیرهای حالت سیستم است بدست می‌آید. شکل ۲ نمودار بلوكی روش کنترل بهینه فوق الذکر را نشان می‌دهد.



شکل ۲- نمودار بلوكی کنترل بهینه حلقه باز

در شکل ۲، $\theta_d(t)$ بردار ورودی مطلوب، (X, u) انتگرالده تابع انتگرالی هدف، X بردار حالت سیستم، u متغیر کنترلی هستند.

تابع هدف J را بصورت ذیل تعریف می‌کنیم:

$$J = \int_{t_0}^{t_b} g(\theta, \dot{\theta}, \phi, \dot{\phi}, \tau) dt \quad (8)$$

با بازنویسی رابطه (۶) میتوان قیدهای دینامیکی سیستم را بصورت ذیل بدست آورد:

$$C_{\theta\theta}(\theta, \phi)\ddot{\theta} + C_{\theta\phi}(\theta, \phi)\ddot{\phi} + E_\theta(\theta, \phi, \dot{\theta}, \dot{\phi}) = \tau \quad (9)$$

$$C_{\theta W}^T(\theta, \phi)\ddot{\theta} + C_{\phi\phi}(\theta, \phi)\ddot{\phi} + E_\phi(\theta, \phi, \dot{\theta}, \dot{\phi}) = 0 \quad (10)$$

در این مرحله با فرض حرکت صلب ربات، قید سینماتیکی بصورت ذیل خواهد شد:

$$\sigma(\theta) = \sigma_d(t) \quad (11)$$

در این رابطه، $\sigma(\theta)$ بردار موقعیت پنجه بازوی مکانیکی و σ_d بردار مسیر مطلوب و تابعی از زمان می‌باشد. رابطه (۱۱) یک رابطه جبری غیر خطی است و به دلیل افزونگی درجات آزادی، جوابهای بی شماری برای زوایای مفاصل تولید خواهد کرد.

همچنین قیدهای نامساوی جهت محدود کردن سرعت و گشتاور مفاصل می‌تواند اعمال گردد:

$$\tau_i^- < \tau_i < \tau_i^+ \quad (12)$$

$$\dot{\theta}_i^- < \dot{\theta}_i < \dot{\theta}_i^+ \quad (13)$$

تابع هدف رابطه (۸) و معادلات دینامیکی روابط (۹) و (۱۰) به همراه قید سینماتیکی رابطه (۱۱) و قیدهای (۱۲) و (۱۳) تشکیل مساله کنترل بهینه را می‌دهند. قیدهای نامساوی میتواند با در نظر گرفتن جملاتی از مجذور سرعت مفاصل و گشتاورها در تابع هدف و با تنظیم ضرایب جریمه محقق گردد.

برای تبدیل معادلات به فرم استاندارد، باید این معادلات به شکل ذیل درآیند:

$$J = \int_{t_0}^{t_b} g(X, u) dt \quad (14)$$

$$\dot{X} = f(X, u, t) \quad (15)$$

برای این کار بردار حالت X را بصورت زیر تعریف می‌کنیم:

$$X = [\theta^T \quad \phi^T \quad \dot{\theta}^T \quad \dot{\phi}^T]^T \quad (16)$$

رابطه (۳۳) شرایط مرزی در نقاط ابتدایی t_s و انتهایی t_f بیان می‌کند. با توجه به اینکه موقعیت پنجه بازوی مکانیکی در لحظه اول و آخر مشخص می‌باشد و نظر به مقدار افزونگی، شرایط ابتدایی و انتهایی هر یک شرط مرزی را تامین می‌نماید و در مجموع $2Z$ شرط مرزی در دو پایانه مسیر خواهیم داشت. از طرفی رابطه (۳۳) بیان می‌کند که در زمان‌های t_s و t_f ، بردار λ باید بر مجموعه معادلات قید تبدیل باشد. به عبارت دیگر بردار λ باید در فضای سط्रی ماتریس ζ -اکوبین قرار داشته باشد، بنابراین قرار گرفتن بردار λ در فضای ستونی ζ^T معادل است با حضور این بردار در فضای پوچ ماتریس $\zeta^T(\zeta^T)^T$ که با استفاده از جبر خطی می‌توان نوشت [۲۴]:

$$I_{N \times N} - \zeta^T \lambda = 0 \quad \text{در } t = t_s, t_f \quad (34)$$

ζ^T شبیه معکوس ماتریس جاکوبی است. رابطه (۳۴) دارای Z شرط مرزی در هریک از دو انتهای است، در نتیجه مجموع شرایط مرزی $2n$ خواهد شد که برای حل معادلات (۲۹) تا (۳۱) کافی است.

۵- شبیه سازی و بررسی نتایج

در این بخش جهت بررسی و کارآمدی روش ارایه شده، شبیه سازی انجام و نتایج مورد بحث و بررسی قرار خواهد گرفت. جهت این کار، بازوی مکانیکی با مشخصات جدول ۱ را در نظر بگیرید. بازوی مکانیکی از سه رابط ($N = 3$) تشکیل شده و فرض بر آن است که کلیه رابط‌ها و حرکت‌آنها در صفحه افقی هستند.

جدول ۱- جرم و ابعاد رابط‌های بازوی مکانیکی

بازوها			واحد	کمیت
سوم	دوم	اول		
۸۰	۳۰	۳۰	سانتیمتر	طول
۲۰	۱۰	۱۰	میلیمتر	عرض
۲/۵	۱۵	۱۵	میلیمتر	ضخامت
۱۰۸	۱۲۲	۱۲۲	گرم	جرم

جنس رابط‌ها از آلومینیوم بوده و چگالی و مدول یانگ آنها به ترتیب 2710 kg/m^3 و 71 GPa می‌باشد. مقطع رابط‌ها مستطیلی هستند و جرم هر رابط بر اساس ابعاد و جنس آن تعیین شده است. جرم و ممان اینترسی موتورها بترتیب $1/0.025$ و $1/0.025$ کیلوگرم-متر مربع و جرم بار، 250 گرم می‌باشند. همچنین دو فرکانس اول ارتعاش در نظر گرفته شده است ($M = 2$). فرکانس‌های طبیعی اول و دوم بترتیب $6/27$ و $91/23$ هرتز هستند. فضای کاری بازوی مکانیکی در صفحه می‌باشد ($Z = 2$). از طرفی درجات آزادی بدون در نظر گرفتن انعطاف پذیری بازوی مکانیکی سه می‌باشد ($N = 3$). لذا درجه آزادی اضافی در سیستم وجود دارد ($r = 1$) که می‌توان از برای کمینه کردن شاخص مناسب و حصول به اهداف مورد نظر، بهره برد. مسیر حرکت پنجه ربات را در دستگاه XOY را بصورت زیر در نظر می‌گیریم:

$$\sigma_d(t) = \begin{cases} x_d(t) = 1.3 + \frac{1}{10} \cos\left(\frac{2\pi}{7}t\right) \\ y_d(t) = -\frac{1}{20} \sin\left(\frac{2\pi}{7}t\right) \end{cases} \quad (35)$$

۴- روش حل و شرایط مرزی

دو روش مستقیم و غیر مستقیم برای حل معادلات کنترل بهینه وجود دارد. در روش مستقیم متغیرهای کنترلی و حالت، گسسته سازی شده و مساله کنترل بهینه به مساله برنامه ریزی غیر خطی مقید تبدیل می‌شود. سپس با در نظر گرفتن نقاط کمکی در مسیر مشخص شده، متغیر زمان از معادلات قید حذف می‌گردد [۲۸]. از معروف ترین روش‌های مستقیم، می‌توان به روش‌های شوتینگ مستقیم و روش‌های با هم گذاری اشاره کرد [۳۰، ۲۹]. روش‌های مستقیم تخمینی بوده و به نتایج دقیق منتج نمی‌گردد. این روشها اغلب زمانگیر بوده و بعلت وجود پارامترهای زیاد، کارایی لازم را ندارند [۹]. روش‌های مستقیم برای زمانی که درجات آزادی سیستم زیاد بوده و یا در بهینه سازی اهداف گوناگونی مد نظر باشد، کاندید مناسبی هستند [۳۲، ۳۱]. همچنان وقتی با مسایل پیچیده مثل تحلیل‌های ساختاری در مسایل کنترل بهینه مواجه هستیم، روش غیر مستقیم روشی کارآمد برای حل می‌باشد [۲۱].

با وجود پیچیدگی‌های محاسباتی و احتمال عدم همگرایی در روش‌های غیر مستقیم، این روشها از جواب‌های نسبتاً دقیق و قابل اطمینان برخوردار هستند. معادله همیلتون-جاکوبی-بلمن و اصل کمینگی پونتریاگین دو روش شناخته شده در روش‌های غیر مستقیم هستند که از حساب تغییرات برای تبدیل مساله بهینه سازی به مجموعه ای از معادلات دیفرانسیل استفاده می‌کنند [۱۵]. در این مقاله از روشی مبتنی بر اصل کمینگی پونتریاگین جهت حل مساله کنترل بهینه استفاده شده است. در روش کمینگی پونتریاگین، مساله بهینه سازی به مجموعه ای از معادلات دیفرانسیل مرتبه اول تبدیل می‌شود و شرایط مرزی این معادلات بصورت دو نقطه ای خواهد بود. این روش در مقایسه با دیگر تکنیک‌های کنترل بهینه حلقه باز، نیازی به خطی سازی معادلات، دیفرانسیل گیری نسبت به پارامترهای مفاصل و استفاده از چند جمله‌ای به عنوان فرم حل، ندارد [۲۷]. اصل کمینگی پونتریاگین بیان می‌کند که اگر قانون کنترلی بهینه u^* در سیستم دینامیکی رابطه (۲۸) صدق می‌کند، بخواهد تابع هدف رابطه (۲۷) را کمینه کند، باید معادلات همیلتون را در نقاط بهینه ارضا نماید. با توجه به این اصل خواهیم داشت:

$$-\frac{\partial \mathcal{H}}{\partial u}|_{X^*, u^*, \lambda^*} = 0 \quad (29)$$

$$+\frac{\partial \mathcal{H}}{\partial \lambda}|_{X^*, u^*, \lambda^*} = \dot{X}^* \quad (30)$$

$$-\frac{\partial \mathcal{H}}{\partial X}|_{X^*, u^*, \lambda^*} = \lambda^* \quad (31)$$

جاییکه $\lambda \in \mathfrak{R}^{2p}$ بردار ستونی متغیرهای شبیه حالت است. همیلتونین \mathcal{H} بصورت زیر تعریف می‌شود:

$$\mathcal{H} = g + \lambda^T f \quad (32)$$

برای حل معادلات (۲۹) تا (۳۱)، مولفه‌های بردار u را از معادله (۲۹) استخراج کرده و در معادلات (۳۰) و (۳۱) جایگذاری می‌نماییم. با انجام این کار $2n$ متغیر خواهد ماند که سهم هر یک از متغیرهای بردار حالت و شبیه حالت، نیمی از آن است و نیاز به همین تعداد شرط مرزی دارد. در روش پونتریاگین با کمک حساب تغییرات، شرایط مرزی بصورت ذیل بدست می‌آید [۳۳]:

$$\lambda^T \delta X = 0 \quad \text{در } t = t_s, t_f \quad (33)$$

همچنین چون مساله باید بصورت شرایط مرزی دو نقطه‌ای حل گردد برای مسیر در نظر گرفته شده نقاط ابتدایی و انتهایی را مشخص می‌نماییم. نقطه شروع، $(1/40, 0)$ و مدت حرکت را 3 ثانیه در نظر می-

گیریم در نتیجه نقطه انتهایی، $(1/20, 0)$ است. قیدهای نامساوی

را برای گشتاور، سرعت و خطای مسیر بصورت زیر در نظر می‌گیریم:

$$-0.07 < \tau_i < 0.07 \quad (36)$$

$$-0.7 < \dot{\theta}_i < 0.7 \quad (37)$$

$$-0.015 < e < 0.015 \quad (38)$$

e خطای مسیر پنجه می‌باشد.

همچنین $\dot{\theta}_i^+ = -\dot{\theta}_i^- = 0.7$ و $\tau_i^+ = -\tau_i^- = 0.07$

خواهد بود. تابع هدف را تابعی از خطای مسیر، تغییر شکل الاستیک پنجه، سرعت مفاصل و مصرف انرژی در عملگرها لحاظ می‌کنیم، لذا داریم:

$$g = w_\phi \delta_{l_3}^2 + \sum_{i=1}^3 w_{v_i} \dot{\theta}_i^2 + \sum_{i=1}^3 w_{\tau_i} \tau_i^2 \quad (39)$$

$$+ w_y (y_d - y_e)^2 + w_x (x_d - x_e)^2$$

w_y و w_x بترتیب ضرایب جریمه خطای مکان پنجه و

w_e و w_{τ_i} بترتیب ضرایب جمله تغییر شکل الاستیک، سرعت و سیگنال

های کنترل هستند. با لحاظ کردن دو مود ارتعاشی، بردار حالت و شبه

حالات از روابط (۱۶) و (۳۲) بصورت ذیل خواهد شد:

$$\mathbf{X} = [\theta_1 \ \theta_2 \ \theta_3 \ \phi_1 \ \phi_2 \ \dot{\theta}_1 \ \dot{\theta}_2 \ \dot{\theta}_3 \ \dot{\phi}_1 \ \dot{\phi}_2] \quad (40)$$

$$\lambda = [\lambda_1 \ \lambda_2 \ \dots \ \lambda_{10}] \quad (41)$$

بردار \mathbf{u} با توجه به $1 = r$ و از رابطه (۲۱) به دست می‌آید:

$$\mathbf{u} = [\dot{\theta}_1] \quad (42)$$

هامیلتونی با استفاده از روابط (۲۷)، (۳۲) و (۳۹) و با فرض

$w_\tau = w_{\tau_1} = w_{\tau_2} = w_{\tau_3}$ و $w_e = w_\tau$ بصورت رابطه

(۴۳) خواهد شد:

$$\begin{aligned} \mathcal{H}(X, u) = & w_e [(x_d - x_e)^2 + (y_d - y_e)^2] \\ & + w_\tau \sum_{i=1}^3 G_{3i}^2(X, u) + w_\phi (\psi_1 \phi_1 + \psi_2 \phi_2)^2 \\ & + \sum_{i=1}^{10} \lambda_i X_i \end{aligned} \quad (43)$$

با حل مساله شرایط مرزی دو نقطه‌ای بدست آمده، مقادیر زوایا و سیگنال‌های کنترل بهینه بدست می‌آیند. برای حل دستگاه معادلات

مرتبه اول و شرایط مرزی آن از دستور $bvp4c$ در نرم افزار

MATLAB استفاده شده است. همچنین از شبکه بندی زمانی

یکنواخت با نقطه $t_i \in [0, 3]$; ($i = 1, \dots, 100$) است. در اینجا $t_s = 3s$ و $t_f = 0$ هستند. جهت مطالعه و

نتیجه گیری مناسب، ضرایب جریمه را در وضعیت‌های حدی در نظر

گرفته و با یکدیگر مقایسه می‌کنیم. بدین منظور پنج حالت زیر را در

نظر می‌گیریم:

$$w_e \gg w_\phi, w_\tau, w_v \quad .1$$

$$w_\phi \gg w_e, w_\tau, w_v \quad .2$$

$$w_\tau \gg w_e, w_\phi, w_v \quad .3$$

$$w_v \gg w_e, w_\phi, w_\tau \quad .4$$

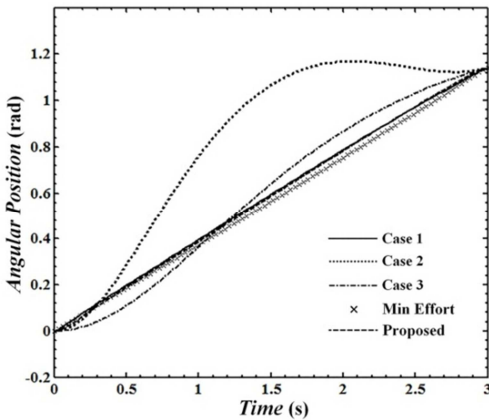
$$w_e = 50, w_\phi = 1, w_\tau = 14, w_v = 0.5 \quad .5$$

حدس اولیه در حالت اول، دوم، سوم و پنجم برای موقعیت و سرعت‌های زاویه‌ای به ترتیب $0/009$ و $0/08$ می‌باشد. در هر پنج حالت، حدس اولیه برای ۵ پارامتر اول شبه حالت $0/0001$ و پنج پارامتر دوم $0/0002$ می‌باشد. شکل ۳ مسیر پنجه بازوی مکانیکی را نسبت به زمان در وضعیت مطلوب و برای حالات ۱ تا ۵ نشان می‌دهد. شکل ۴ و ۵ به ترتیب خطای مسیر و ارتعاشات پنجه را بر حسب میلیمتر برای حالات مختلف نشان می‌دهند. شکل‌های ۶ تا ۸ موقیت‌های زاویه‌ای تولید شده برای مفاصل ۱ تا ۳ را بیان می‌کند. شکل‌های ۹ تا ۱۱ و ۱۲ تا ۱۴ به ترتیب سرعت‌های زاویه‌ای و گشتاور موتورهای مفاصل ۱ تا ۳ را برای این حالات نشان می‌دهند.

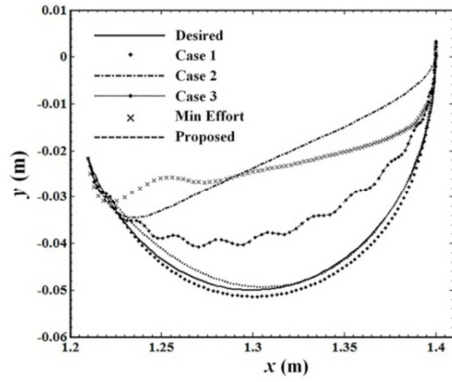
در حالت اول، ماتریس جریمه خطای مسیر زیاد بوده و لذا تعقیب مسیر با کمترین خطای خواهد بود. در این حالت ارتعاش سیستم محدودیتی ندارد ولی قدر مطلق گشتاور نباید از مقدار حدی $0/07$ تجاوز کند. در حالت‌های ۲، ۳ و ۴ (سعی کمینه) ماتریس های جریمه خمث الاستیک، گشتاور کنترلی و سرعت نسبت به ماتریس های جریمه مابقی عامل‌ها بیشتر بوده و لذا در حالت دوم کمترین تعییر شکل الاستیک، حالت سوم کمترین مقادیر در سیگنال‌های کنترل و در حالت ۴ کمترین سرعت‌ها را در مفاصل شاهد هستیم. بیشینه خطای مسیر در حالت اول $7/2$ میلیمتر می‌باشد که کمتر از کران حدی 15 میلیمتر است. در حالت‌های ۳ و ۴ بیشینه خطای به ترتیب $41/89$ و $25/73$ و $41/89$ هستند که هر سه از کران حدی خطای عبور کرده‌اند. جدول ۲ بیان می‌کند بیشینه گشتاور در حالت اول در مفاصل ۱، ۲ و ۳ به ترتیب $0/08$ ، $0/15$ و $0/11$ نیوتون‌متر و در حالت ۴ در مفاصل ۱ تا ۳ به ترتیب $0/10$ ، $0/12$ و $0/09$ بوده و از مقدار مجاز گشتاور عبور کرده‌اند. ماتریس‌های جریمه در حالت ۵ طوری انتخاب شده اند تا ضمن عدم عبور سیگنال‌های فرمان از مقادیر حدی، مقدار خطای نیز از 15 میلیمتر تجاوز نکند. مقدار تابع هدف برای این شرایط w_ϕ می‌باشد. شکل ۵ نشان می‌دهد با افزایش w_ϕ نسبت به ماتریس‌های جریمه خطای مسیر و گشتاور، تعییر شکل خمثی به یک خط نزدیک می‌شود. همچنین اولین و آخرین فراجهش^۱ برای هر پنج حالت به ترتیب در ثانیه 0.12 و $t_{f,ov} = 0.12 s$ و $t_{l,ov} = 2.88 s$ می‌باشد. در این شرایط کمینه خمثی الاستیک در حالت دوم که $w_\phi \gg w_e$ است، رخ می‌دهد. کمترین و بیشترین مقدار ارتعاش پنجه برای حالت ۲ به ترتیب برابر با $1/15$ و $1/92$ میلیمتر و مقدار متوسط قدر مطلق آن $1/27$ میلیمتر است. بیشینه خمث الاستیک در حالت‌های اول و چهارم رخ داده و مقدار آن برای حالت اول، $9/62$ -میلیمتر و برای حالت چهارم، $10/75$ میلیمتر است. مقدار متوسط قدر مطلق تعییر شکل الاستیک برای حالات ۱ تا ۳ به ترتیب $1/27$ ، $0/080$ و $1/30$ میلیمتر می‌باشد که کاهش 50 درصدی خمث الاستیک در حالت دوم را نسبت به دو حالت دیگر نشان می‌دهد.

¹Minimum Effort

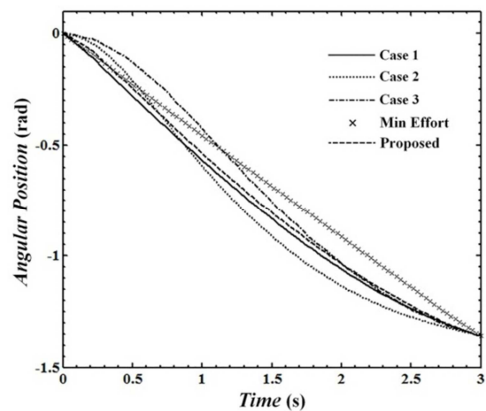
²overshoot



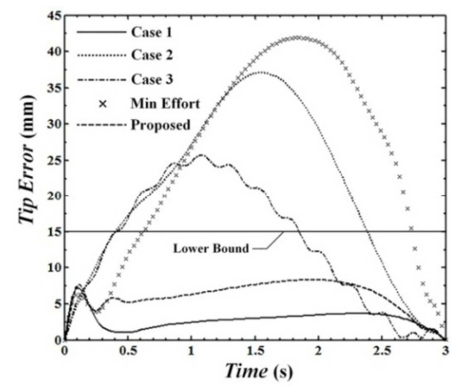
شکل ۷- مکان زاویه‌ای مفصل ۲



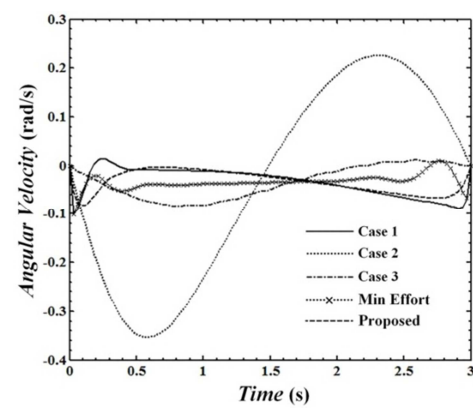
شکل ۳- مسیر پنجه



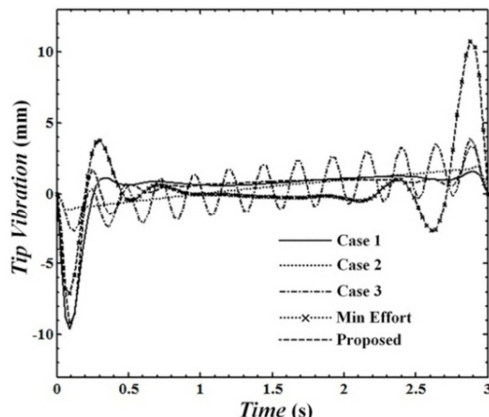
شکل ۸- مکان زاویه‌ای مفصل ۳



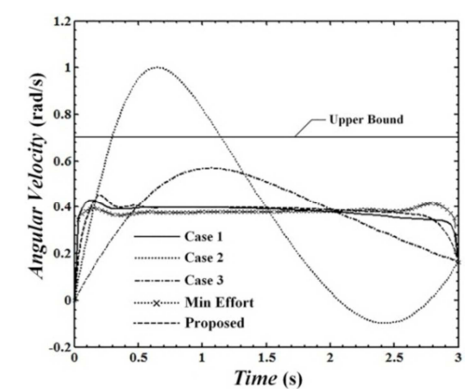
شکل ۴- خطای مسیر پنجه



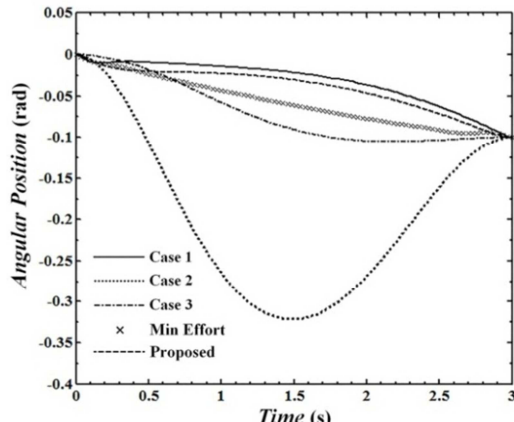
شکل ۹- سرعت زاویه‌ای مفصل ۱



شکل ۵- ارتعاش پنجه



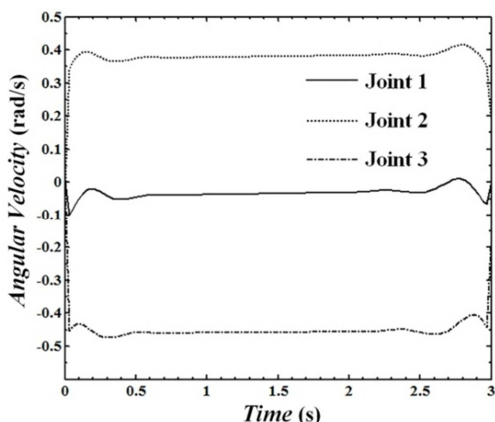
شکل ۱۰- سرعت زاویه‌ای مفصل ۲



شکل ۶- مکان زاویه‌ای مفصل ۱

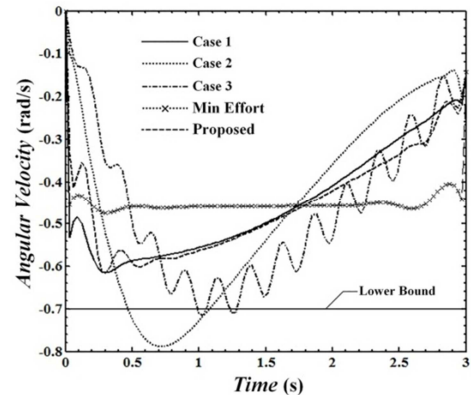
در حالت سوم که W_{τ} به بیشینه خود می‌رسد، ارتعاش پنجه به صورت نوسانی شده و دامنه ارتعاش در میانه حرکت تا ۲/۸۵ میلیمتر افزایش خواهد یافت. شکل های ۹ تا ۱۱ نشان می‌دهد در حالت سعی کمینه، سرعت به یک مقدار ثابت می‌رسد. شکل ۱۵، سرعت زاویه ای مفاصل را در این وضعیت نشان می‌دهد. این سرعت‌ها برای مفصل های ۱، ۲ و ۳ به ترتیب $-0/04$ ، $-0/38$ و $-0/46$ می‌باشند. بیشینه سرعت زاویه ای با کاهش W_V و افزایش W_{ϕ} ، افزایش می‌یابد. بطوریکه بیشینه سرعت در هر سه مفصل در حالت ۱ رخ می‌دهد. مقدار قدر مطلق بیشینه سرعت در حالت ۱ برای مفصل های ۱ تا ۳ به ترتیب برابر $-0/35$ ، $-0/00$ و $-0/79$ می‌باشد.

در مفصل های ۲ و ۳، اشباع سرعت اتفاق می‌افتد و سرعت از حد مجاز $7/0$ تجاوز می‌کند. اشباع سرعت برای حالت سوم نیز رخ می‌دهد جاییکه قدر مطلق سرعت به مقدار بیشینه $7/20$ رسیده است. شکل های ۱۲ تا ۱۴ نشان می‌دهند، گشتاورها در حالات ۲ و ۳ که به ترتیب ماتریس جریمه W_{τ} و W_{ϕ} در بیشینه مقدار نسبت به مابقی ماتریس‌های جریمه هستند، به هم نزدیک بوده و اختلاف ناچیزی مشاهده می‌شود. با افزایش W_{τ} نسبت به ماتریس‌های جریمه خطای مسیر و تغییر شکل خمی، گشتاورها به خط راست نزدیک می‌شوند. شکل ۱۶ گشتاور مفصل های ۱، ۲ و ۳ را در حالت سوم که $W_{\tau} \gg W_e$ ، W_{ϕ} است، نشان می‌دهد. شکل ۱۶ تغییرات خطی گشتاور را در این شرایط به خوبی نشان می‌دهد.

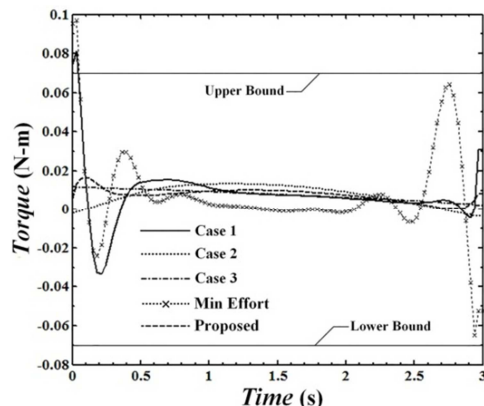


شکل ۱۵- سرعت‌ها در حالت سعی کمینه (حالت ۴)

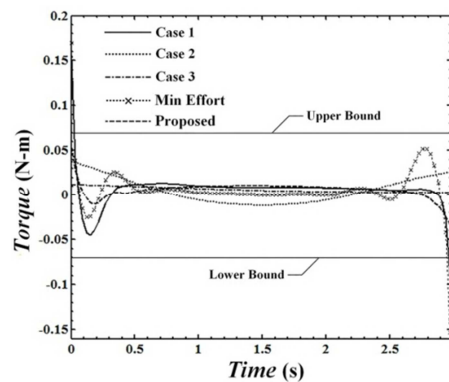
با توجه به حالت‌های در نظر گرفته شده برای ماتریس‌های جریمه در ۴ حالت اول (شرایط حدی) و نظر به اینکه هر یک از این حالات حداقل از یکی از قیدهای نامساوی سیستم عبور کرده و اشباع رخ می‌دهد، حالت پنجم پیشنهاد شده است.



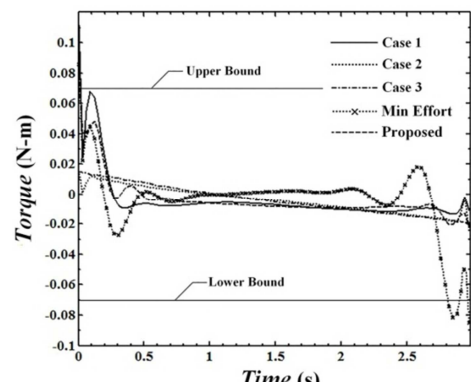
شکل ۱۱- سرعت زاویه ای مفصل ۳



شکل ۱۲- گشتاور مفصل ۱



شکل ۱۳- گشتاور مفصل ۲

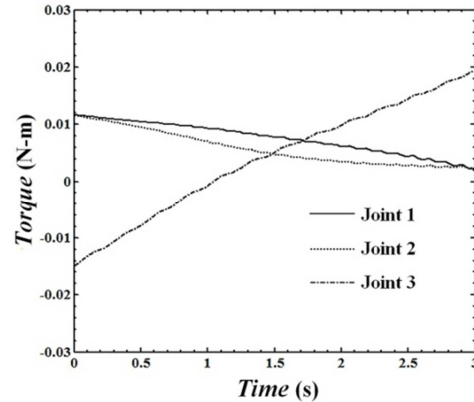


شکل ۱۴- گشتاور مفصل ۳

گستینه سازی استفاده شد. بدنبال آن با محاسبه انرژی جنبشی و پتانسیل سیستم و بکارگیری روش لایگرانژ، معادلات حرکت استخراج گردید. در این تحقیق با توجه به مدل غیر خطی بازوی مکانیکی که تحت قیدهای مختلف قرار دارد، روش کنترل بهینه حلقه باز در نظر گرفته شد. برای تصدیق معادلات مدلسازی و تصدیق روش کنترلی ارایه شده، شبیه سازی برای بازوی مکانیکی با سه رابط انتهایی انعطاف پذیر است، انجام گردید. در این شرایط یک درجه آزادی اضافه وجود دارد که از آن در جهت کمینه کردن تابع هدف فراگیر استفاده شده است. بر اساس اهداف تعریف شده و قیدهای نامساوی، تابع هدف چهار منظوره لحاظ گردید. تابع بکار رفته شامل جملاتی از خطای مسیر، تغییر شکل الاستیک پنجه، سرعت مفاصل و مصرف انرژی در عملگرها می باشد. پاسخ سیستم در شرایط مختلف ماتریس های جریمه، مورد تجزیه و تحلیل قرار گرفتند. بررسی نتایج نشان داد که حل منحصر به فردی که همزمان تمامی اهداف را ارضاء نماید، وجود ندارد. لذا می توان با تنظیم مناسب ماتریس های جریمه، مسیرهای مناسبی را برای برآورده کردن اهداف مورد نظر انتخاب کرد. بررسی پاسخ سیستم در شرایط متفاوت و نتایج بدست آمده حکایت از کارایی و دقت مناسب در روش ارایه شده را دارد.

۷- مراجع

- [1] Kiang C. T., Spowage A., Yoong C. K., Review of control and sensor system of flexible manipulator, Journal of Intelligent and Robotic Systems, Vol.77, No.1, pp. 187-213, 2015.
- [2] Flanz J., Design approach for highly accurate patient positioning system for NPTC, in: Proceedings of the PTOOG XXV and Hydrotherapy Symposium, Belgium, 1996.
- [3] I.C. Lin, L.C. Fu, Adaptive hybrid force/position control of a flexible manipulator for automated deburring with online cutting trajectory modification, Proceedings of the IEEE International Conference on Robotics and Automation 1 (1998) 818–825.
- [4] Chang L.H., Fu L.C., Nonlinear adaptive control of a flexible manipulator for automated deburring, Proceedings of the IEEE International Conference on Robotics and Automation 4 (1997) 2844–2849.
- [5] Pfeiffer F., Bremer H., Figueiredo J., Surface polishing with flexible link manipulator, European Journal of Mechanics A/Solids 15 (1) (1996) 137–153.
- [6] Fukuda T., Flexibility control of elastic robot arms, Journal of Robotic Systems 2 (1) (1985) 73–88.
- [7] Yue S., Henrich D., Xu W.L., Tso S.K., Point-to-point trajectory planning of flexible redundant robot manipulators using genetic algorithms, Robotica, Vol. 20, No. 3, pp. 269–280, 2002.
- [8] Karami N., Korayem M. H., Shafei A. M., Rafee Nekoo S., Theoretical and experimental investigation of dynamic load carrying capacity of flexible-link manipulator in point-to-point motion, Modares Mechanical Engineering, Vol. 14, No. 15, pp. 199–206, 2015.
- [9] Wilson D. G., Robinett R.D., Eisler G.R., "Discrete dynamic programming for Optimized path planning of flexible robots", Proceeding of the International Conference on Intelligent Robot and Systems(IROS), Vol. 3, pp. 2918-2923, 2004.
- [10] Furuno S., Yamamoto M., Mohri A., Trajectory planning of mobile manipulator with stability consideration", Proceeding of IEEE International Conference on Robotics and Automation(ICRA), Vol. 3, pp. 3403-3408, 2003.
- [11] Sentinella M. R., Casalino L., Genetic algorithm and indirect method coupling for low thrust trajectory optimization", Proceedings of 42nd AIAA/ASME/SAE/ASEE Joint Propulsion Conference, Sacramento, USA, 2006.
- [12] Haddad M., Chettibi T., Hanchi S., Lehtihet H. E., Optimal motion planner of mobile manipulators in generalized point-to-point task, 9th IEEE International Workshop on Advanced Motion Control, pp. 300–306, 2006.



شکل ۱۶- گشتاورها در حالت ۳

البته ذکر این نکته ضروری است که ماتریس های جریمه متفاوتی می تواند شرایط مورد نظر و قیدهای سیستم را ارضاء نماید. نتیجه گیری های مهم به طور خلاصه بصورت ذیل جمع بندی می گردد. زمان اولین و آخرین فراجهش در خمین الاستیک به ماتریس های جریمه وابسته نبوده و مقدار متوسط قدر مطلق تغییر شکل الاستیک در حالت دوم تا نصف این مقدار برای حالت های ۱ و ۳ کاهش می یابد. در شرایطی که ماتریس های جریمه خطای مسیر، تغییر شکل خمی، گشتاور و سرعت به عنوان اولویت اصلی در بیشینه مقدار خود نسبت به مابقی ماتریس های جریمه قرار گیرند، تغییرات این پارامتر ها به صورت خطی قابل تخمین خواهند بود. با استفاده از قیدهای نامساوی، محدودیت های گشتاور، سرعت و یا خطای به سیستم اعمال می شوند. در این شرایط در صورت انتخاب نامناسب ماتریس های جریمه، امکان آسیب رسیدن به سیستم (مثلاً با اشباع عملگرها) وجود دارد. احراز شرایط بهینه برای تمامی شاخص ها بطور همزمان امکان پذیر نمی باشد و بسته به اولویت های در نظر گرفته شده، می توان آنها را برای نتیجه مورد نظر تنظیم نمود. برای این کار جهت پیش بینی تخمینی پاسخ سیستم (نسبت به ماتریس های جریمه)، می توان شرایط حدی این ماتریس ها را مشابه شرایط در نظر گرفته شده در حالت های ۱ تا ۴ مورد بررسی قرار داد.

۶- نتایج

در این مقاله کنترل بهینه حلقه باز برای طراحی مسیر بهینه بازو های مکانیکی با پایه ثابت و رابط انعطاف پذیر انتهایی، در مساله تعقیب مسیر ارایه گردید. این تحقیق ضمن توسعه روش کنترل حلقه باز در بازوی مکانیکی در نظر گرفته شده، معادلات را بر اساس حرکت صلب و کاهش حرکت الاستیک بدست آورده است. در این استراتژی، در میان پاسخهای بی شماری که برای حرکت صلب بازوی مکانیکی افزونه وجود دارد، پاسخی که ارتعاشات سیستم را به عنوان اولویت اصلی حداقل می کند، جستجو می شود. با استفاده از بردار سرعت در معادله سینماتیک که از فرض حرکت صلب ربات نتیجه می شود و با تعريف مناسب بردار حالت و سیگنال کنترل، مقادیر شتاب ها و گشتاورها بر حسب این دو بردار استخراج شدند. سپس تابع هدف و قیدهای سیستم به فرم استاندارد یک مساله کنترل بهینه در آمدند. بعلت ابعاد نامحدود در اجزای انعطاف پذیر، از روش مود فرضی برای

- [32] Callies R., Rentrop P., Optimal control of rigid link manipulators by indirect methods, GAMM-Mitteilungen, Vol. 31, No. 1, pp. 27 – 58, 2008.
- [33] Kirk D. E., Optimal Control Theory: an introduction, Prentice Hall, Englewood Cliffs, NJ, 2012.
- [34] Homaei H., Keshmiri M., Optimal trajectory planning for minimization vibration of flexible redundant cooperative manipulators, Advanced Robotic, Vol.23, No.12-13, pp. 1799-1816, 2009.
- [13] Rahimi H. N., Korayem M. H., Nikoobin A., Optimal motion planning of manipulators with elastic links and joints in generalized point-to-point task, 33rd ASME International Design Engineering Technical Conferences and Computers and Information in Engineering Conference, pp. 1167-1174 , 2009.
- [14] Korayem M. H., Rahimi H. N., Nikoobin A., Path planning of mobile elastic robotic arms by indirect approach of optimal control, International Journal of Advanced Robotic Systems, Vol. 8, No. 1, pp. 10-20, 2011.
- [15] Korayem M. H., Rahimi H. N., Nikoobin A., Mathematical modeling and trajectory planning of mobile manipulators with flexible links and joint, Applied Mathematical Modelling, Vol. 36, No. 7, pp. 3229–3244, 2012.
- [16] Heidari H. R., Korayem M. H., Haghpanahi M., Battle V. F., Optimal trajectory planning for flexible link manipulators with large detection using a new displacements approach, Journal of Intelligent and Robotic Systems, Vol. 72, No. 3-4, pp. 287–300, 2013.
- [17] Shukla A., Singla E., Wahi P., Dasgupta B., A direct vibrational method for planning monotonically optimal paths for redundant manipulators in constrained workspaces, Robotics and Autonomous System, Vol. 61, No. 2, pp. 209-220, 2013.
- [18] Lou J., Wei Y., Li G., Yang Y., Xie F., Optimal trajectory planning and linear velocity feedback control of a flexible piezoelectric manipulator for vibration suppression, Shock and Vibration, 2015.
- [19] Stilman M., Atkeson C. G., Kuffner J. J., Zieglin G., Dynamic programming in reduced dimensional spaces: Dynamic planning for robust biped locomotion", International Conference on Robotics and Automation, Barcelona, Spain, pp. 2399-2404, 2005.
- [20] Bakker B., Zivcovic Z., Krose B., Hierarchical dynamic programming for robot path planning, IEEE/RSJ International Conference on Intelligent Robot and Systems(IROS), Edmonton, Canada, pp. 2756-2761, 2005.
- [21] Korayem M. H., Irani M., Charesaz A., Korayem A. H., Hashemi A., Trajectory planning of mobile manipulators using dynamic programming approach, Robotica, Vol. 31, No. 04, pp. 643-656, 2013.
- [22] Abe A., Komuro K., Minimum energy trajectory planning for vibration control of a flexible manipulator using a multi-objective optimization approach, International Journal of Mechatronics and Automation, Vol. 2, No. 4, pp. 286-294, 2012.
- [23] Tabealhojeh H., Ghanbarzadeh A., "Two steps optimization path planning algorithm for robot manipulators using imperialist competitive algorithm, 2th RSI/ISM International Conference on IEEE in Robotics and Mechatronics (ICROM), pp. 801-806 , 2014.
- [24] Chu M., Chen G., Jia Q. X., Gao X., Sun H. X., Simultaneous positioning and non-minimum phase vibration suppression of slewing flexible link manipulator using only jointactuator, Journal of Vibration and Control, Vol.20, No. 10, pp. 1488-1497, 2014.
- [25] Meirovitch L., Analytical methods in vibrations, Mcmillan, New York, USA, 1967.
- [26] Rao S. S., Vibration of Continuous Systems, 4th Edition, Chapter 11, New Jersey: Wiley & Sons, 2007.
- [27] Korayem M. H., Nazemizadeh M., Dynamic load carrying capacity of flexible manipulators using finite element method and pontryagin's minimum principle, Journal of Optimization in Industrial Engineering, Vol. 6, No. 12, pp. 17-24, 2013.
- [28] Wachter A., Biegler L. T., On the implementation of an interior point filter line search algorithm for large scale nonlinear programming, Mathematical programming, Vol. 106, No. 1, pp.25-57, 2006.
- [29] Bock H. G., Plitt K. J., A multiple Shooting Algorithm for direct solution of optimal control problems, Proceeding of the 9th IFAC World Congress, pp. 242-247, 1984.
- [30] Hargraves C. R., Paris S. W., Direct trajectory optimization using programming and collocation, Journal of Guidance, Control, and Dynamics, Vol. 10, No. 4, pp. 338-342, 1987.
- [31] Bessonnet G., Chessé S., Optimal dynamics of actuated kinematic chains, Part 2: Problem statements and computational aspects, European Journal of Mechanics-A/Solids, Vol. 24, No. 3, pp. 472-490, 2005.